

11; 12

© 1990 г.

**ЗЕРКАЛЬНОЕ ОТРАЖЕНИЕ ПОДЛОЖКИ  
С КРИОСЛОЕМ КИСЛОРОДА, ВОЗДУХА, АРГОНА  
И НЕОНА В ВАКУУМЕ**

*Л. Ш. Олейников, В. Д. Глазунов, М. М. Чулков*

Представлены результаты экспериментальных исследований зависимости от температуры показателя преломления, плотности и скорости роста криослоев сконденсированных частиц кислорода, сухого воздуха, аргона и неона в области 6—33 К, а также влияние толщины слоя и температуры подложки на зеркальное отражение от нее лучистых потоков в интервале спектра 0.63—5.92 мкм. Отменена близкая по характеру закономерность изменения указанных свойств в зависимости от температуры конденсации и толщины слоя для аргона, неона и азота (данные о свойствах конденсата этого газа опубликованы ранее). Установлены аномальные отклонения от этой закономерности у кислорода, связанные с двойным превращением структуры этого вещества, а также влияние этих отклонений на свойства конденсата воздуха. Результаты работы могут быть использованы при выборе условий и режимов криостатирования объектов с отражающими поверхностями в остаточной среде газов.

Результаты измерений температурной зависимости коэффициентов зеркального отражения  $\rho'$  подложки в процессе конденсации на ней частиц азота в вакууме [1] показывают, что эти коэффициенты связаны с прозрачностью, или оптической однородностью, твердых пленок конденсата. Последняя, как было установлено, определяется особенностями структуры пленки и существенно зависит от температуры конденсации  $T_c$ , длины волны излучения  $\lambda$ , падающего на подложку, толщины  $\delta$ -слоя сконденсированных частиц и меньше от плотности  $P$  их молекулярного потока на единицу поверхности конденсации. При этом оказывается, что повышение степени оптической однородности конденсированного азота, которое происходит одновременно с увеличением значений его плотности  $\gamma$  и показателя преломления  $n$  при температуре выше 20 К, прекращается. Характер формирования структуры конденсата на подложке с более высокой температурой приводит к тому, что, несмотря на продолжающееся еще увеличение  $\gamma$ , значения  $\rho'$  приобретают все нарастающий спад в начальный момент конденсации. Выявленная по результатам исследований взаимосвязь физических свойств и условий образования криосадков азота, а также их влияние на отражение излучения от зеркальной подложки могла иметь качественные и количественные отличия от такой взаимосвязи у криосадков других газов. Определение ее особенностей требовало изучения указанных выше физических свойств сконденсированных частиц этих газов и в первую очередь близких по природе, в том числе по прозрачности, конденсированному азоту.

В настоящей работе отражены результаты исследования температурной зависимости показателя преломления, плотности, скорости роста  $v$  слоя сконденсированных в вакууме частиц кислорода, воздуха, аргона и неона и их влияния на зеркальное отражение лучистых потоков в области 0.63—5.92 мкм в зависимости от толщины криослоя и температуры подложки.

Для измерения указанных величин были использованы методика и экспериментальная установка, описанные в работах [1, 2]. Результаты измерений и исследований криосадков этих газов в области температур 6—33 К представлены ниже в соответствующих таблицах, графиках и комментариях.

Таблица 1

$T_k$ , К	$n$	$\gamma$ , кг/м <sup>3</sup>	$v$ , мкм/мин	$T_k$ , К	$n$	$\gamma$ , кг/м <sup>3</sup>	$v$ , мкм/мин
6.2	1.24	1206	0.2	20.0	1.28	1392	0.181
7.15	1.28	1392	0.187	24.0	1.30	1484	0.179
10.0	1.26	1301	0.215	28.0	1.27	1347	0.172
12.0	1.27	1347	0.213	30.0	1.15	778	0.183
13.5	1.35	1709	0.188	32.5	1.14	722	0.15
15.0	1.34	1664	0.178				

Кислород. Полученные из эксперимента данные о  $n$ ,  $\gamma$  и  $v$  криослоев этого газа приведены в табл. 1. Как и у азота [1], здесь наблюдается вначале рост значений показателя преломления и плотности, а затем их уменьшение при повышении температуры. Наибольшие из этих значений ( $n=1.35$  и  $\gamma=1709$  кг/м<sup>3</sup>) получены при температуре подложки 13.5 К, более низкой, чем у азота, почти на 7 К. Указанные изменения  $n$  и  $\gamma$  в зависимости от температуры имеют монотонный характер лишь в области выше 24 К.

Величина скорости роста слоя конденсата  $O_2$  в интервале температур 6.2–30 К удерживается у ее среднего значения и отклоняется от него в меньшую или большую стороны соответственно от 1 до 7 % и от 5 до 12 %, а при 32.5 К

этая скорость заметно снижается вследствие интенсивного уменьшения коэффициента прилипания молекул  $O_2$  вблизи границы его насыщенных паров.

Ослабление интенсивности направленного потока излучения, отражен-

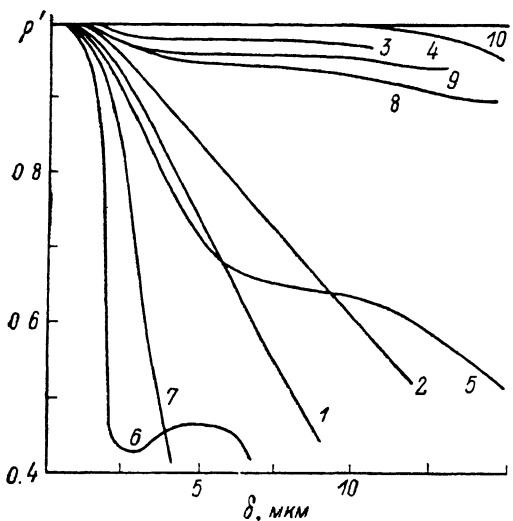


Рис. 1. Изменение направлений отражательной способности  $\rho'$  подложки в процессе конденсации на ней при температуре 6–15 К частиц кислорода в вакууме.

$\rho'=f(\delta)$  при  $T_k$  (К),  $v$  (мкм/мин),  $\lambda$  (мкм): 1 – 6.15, 0.2, 0.63; 2 – 7.15, 0.19, 0.63; 3 – 6.15, 0.2, 3.81; 4 – 6.15, 0.2, 5.92; 5 – 10.0, 0.215, 0.63; 6 – 13.5, 0.19, 0.63; 7 – 15.0, 0.18, 0.18, 5.92; 8 – 13.5, 0.19, 3.81; 9 – 13.0, 0.19, 5.92; 10 – 15.0, 0.18, 5.92.

ного от подложки при температуре 6.15 и 7.15 К (см. графики  $\rho'=f(\delta)$  на рис. 1) было идентичным такому же процессу при конденсации азота. Различие этих температур в 1 К обусловливает здесь соответствующую для них пороговую толщину  $\delta'$  [1] конденсата соответственно 0.5 и 1.5λ. В этом температурном интервале наблюдалась тенденция к быстрому росту  $\delta'$ . Ожидания дальнейшего развития этой тенденции при повышении температуры подложки не оправдались: в интервале температур 10–15 К, как следует из графиков на этом рисунке, наблюдалось аномальное и достаточно ощутимое снижение  $\rho'$  подложки, покрытой конденсированным кислородом. Особенно сильно этот процесс протекал при ее температуре 13.5 К в области толщин 2–5 мкм и тем интенсивнее, чем меньше была длина волны излучения. Многократные замеры  $\rho'=f(\delta)$  в указанной температурной зоне дали хорошую воспроизводимость результатов (разброс точек не выходит за пределы 2 %). Состав остаточной среды, фоновое давление которой в криостате перед напуском кислорода было на уровне  $8 \cdot 10^{-8}$  Па, и состав конденсирующихся примесей в напускаемом рабочем газе, доля которых не превышала 0.02 %, не могла влиять на свойства конденсата  $O_2$ . Из этого следует, что присутствие случайных или не регламентированных процессов здесь было исключено и данные измерения  $\rho'$  целиком

могли быть связаны с особенностями структуры криослоя и природы  $O_2$ . Важно отметить еще и то, что в указанном интервале толщины U-образная кривая  $\rho' = f(\delta)$  на рис. 1, в частности, для излучения с длиной волны  $\lambda = 0.6328 \text{ мкм}$  относится к потоку, направленному нормально к поверхности подложки. Этот случай носит исключительный характер, так как изменение  $\rho'$  для излучения с той же длиной волны, падающего на подложку под углом  $30^\circ$  к ее нормали, происходило, как и во всех остальных случаях, монотонно. Подтверждением этого могут служить фотоснимки интерферограмм (рис. 2). Интерферограммы  $\alpha$  и  $\beta$  регистрировались одновременно для одной и той же точки поверхности конденсации. Это обстоятельство указывает на существование значительной оптической анизотропии в слоях  $O_2$ , сконденсированного

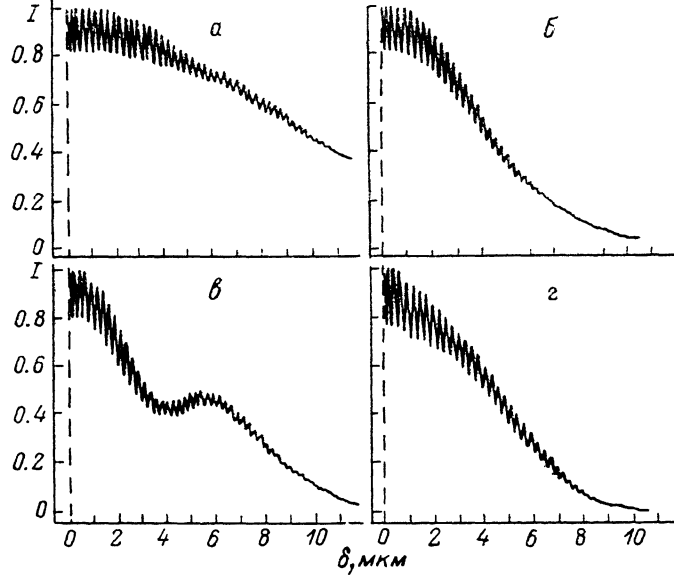


Рис. 2. Вид интерферограмм, полученных в процессе конденсации частиц кислорода на подложку при отражении от нее света с длиной волны  $\lambda = 0.63 \text{ мкм}$ , падающего на поверхность под углом  $\phi$  к нормам.

Величина сигнала фотодиода  $I=1$  относится к подложке без конденсата.  $T_k (\text{К})$ ,  $v (\text{мкм/мин})$ ,  $\phi$  (угл. град):  
 $\alpha - 7.15, 0.187, 0$ ;  $\beta - 15.0, 0.182, 0$ ;  $\gamma - 13.5, 0.190, 0$ ;  $\delta - 13.5, 0.190, 30$ .

в вакууме при  $13.5 \text{ К}$ , которая, как известно [3, 4], является следствием ярко выраженной асимметрии кристаллов  $O_2$ , вызванной тем, что при изменении температуры конденсата  $O_2$  это вещество претерпевает превращения структуры одновременно и как молекулярный кристалл, и как квазидвумерный магнетик [5] с полосами поглощения в интервале  $0.6\text{--}16 \text{ мкм}$ . Результаты исследования криослоев  $O_2$  в настоящей работе показали, что этот вывод имеет границы применимости по толщине слоя, температуре конденсата и углу падения лучистого потока на подложку. Для слоев кислорода характерна также слабая зависимость их прозрачности от плотности, что хорошо видно при сопоставлении данных табл. 1 и рис. 1, 3. В непосредственной близости от границы насыщенных паров  $O_2$ , когда давление остаточной среды этого газа перед диафрагмой было  $1.33 \cdot 10^{-2} \text{ Па}$ ,  $\rho'$  уменьшилось столь же интенсивно и под влиянием того же механизма (кривые 7, 8), что и у азота [6].

В о з д у х. При конденсации сухого и очищенного от  $CO_2$  воздуха, состоящего преимущественно из  $N_2$  и  $O_2$ , как следует из [7], не происходит взаимного криозахвата этих газов. Обладая коэффициентом прилипания, близким к 1.0 при температуре ниже  $20 \text{ К}$ , эти газы могут оставаться на поверхности независимо друг от друга в виде смешанной среды, в которой может иметь место анизотропия физических свойств, вызванная различием характерных для  $N_2$  и  $O_2$  условий образования кристаллитов в слое при одной температуре, различной ориентацией кристаллов в смеси частиц и др. В этой связи представляют

Таблица 2

$T_k$ , К	$n$	$\gamma$ , кг/м <sup>3</sup>	$v$ , мкм/мин	$T_k$ , К	$n$	$\gamma$ , кг/м <sup>3</sup>	$v$ , мкм/мин
6.15	1.21	893	0.210	17.0	1.23	974	0.206
7.15	1.27	1134	0.199	20.0	1.23	973	0.192
10.0	1.22	935	0.220	22.0	1.22	935	0.198
12.0	1.28	1169	0.217	24.0	1.25	1057	0.185
13.5	1.26	1092	0.213	26.0	1.23	974	0.187
15.0	1.25	1053	0.215	28.0	1.29	1208	0.060

интерес результаты исследования влияния свойств твердых образований  $N_2$  и  $O_2$  на  $n$ ,  $\gamma$  и  $v$  конденсата воздуха. Экспериментальные данные о температурных зависимостях этих параметров приведены в табл. 2.

Сопоставляя значения  $n$ ,  $\gamma$  и  $v$  для азота [1], кислорода и воздуха по табл. 1 и 2, можно прийти к выводу, что проявление свойств  $N_2$  или  $O_2$  на свойствах конденсата воздуха выражается в следующем: изменение значений  $n$ ,  $\gamma$  и  $v$  в криослое воздуха «отслеживает» их изменение у криослоев кислорода или азота в зависимости от температуры поверхности конденсации. Так, несмотря на то что скорость роста криослоя воздуха в целом выше, чем у кислорода (сказывается влияние азота), присущей последнему монотонности уменьшения

значений  $v$  при повышении температуры конденсирующей подложки здесь не наблюдалось. При температурах ниже 28 К  $v$  воздуха повторяет (пусть не с одной и той же амплитудой) колебания  $v$  кислорода. Если у азота в указанной области температур  $v$  меняется в 2 раза, то у воздуха скорость роста слоя

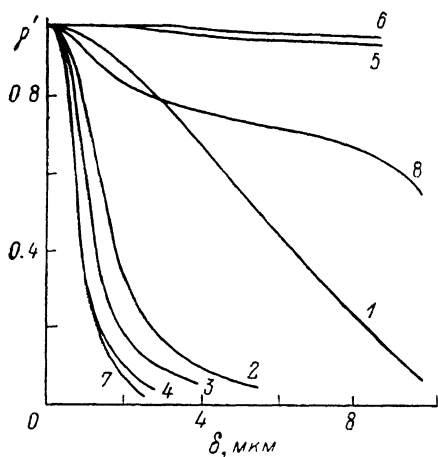


Рис. 3. Изменение направленной отражательной способности  $\rho'$  подложки в процессе конденсации на ней при температуре 20–33 К частиц кислорода в вакууме.

$\rho' = f(\delta)$  при  $T_k$  (К),  $v$  (мкм/мин),  $\lambda$  (мкм): 1 – 20.0, 0.18, 0.63; 2 – 28.0, 0.17, 0.63; 3 – 30.0, 0.183, 0.63; 4 – 32.5, 0.15, 0.63; 5 – 30.0, 0.183, 3.81; 6 – 30.0, 0.183, 5.92; 7 – 33.0, 0.1, 0.63; 8 – 33.0, 0.1, 3.81.

конденсата отклоняется от максимального значения всего лишь на 14 %. Наибольшее значение  $v$ , а также ее спады у воздуха и у кислорода относятся к одним и тем же или близким температурным уровням конденсации. То же можно сказать и относительно  $n$  и  $\gamma$ . Максимальные величины плотности криослоя воздуха  $\gamma = 1169$  кг/м<sup>3</sup> и показателя преломления  $n = 1.28$  относятся к температуре подложки 12 К, т. е. близко к той, при которой  $n$  и  $\gamma$  кислорода имеют наибольшую величину.

При формировании слоя конденсата воздуха на его оптическую однородность положительно влияет составляющая конденсированных частиц азота. Прозрачность криослоя воздуха изменяется при повышении температуры подложки в том же направлении, как и у криослоев  $N_2$ . Из кривых 1–4 на рис. 4 видно, что на толщинах до 20 мкм отражательная способность подложки с конденсатом воздуха на длине волны 0.6328 мкм повышается от 0.55 до 0.93 при изменении температуры конденсации от 6 до 13.5 К, в то время как на толщинах слоя 3–6 мкм еще проявляется тенденция аномальных спадов  $\rho'$ , свойственных подложке с криослоем  $O_2$ . В области температур 15–20 К просматривается влияние свойств конденсата  $O_2$  на  $\rho'$  подложки со слоем воздуха, а в области выше 24 К вновь усиливается влияние  $N_2$  на  $\rho'$ , когда начинают возрастать спады отражательной способности подложки (кривые 5–11). Поро-

говая толщина  $\delta'$  конденсата воздуха имеет большее значение, чем у криослоев  $O_2$ . Это тоже подтверждает рис. 3. Вместе с тем она остается еще достаточно малой по значению в сравнении с  $\delta'$  конденсата чистого азота.

**Аргон.** Экспериментальные данные о рассматриваемых свойствах криоконденсатов Ar приведены в табл. 3. Из них видно, что особенности изменения  $n$ ,  $\gamma$  и  $v$  с повышением температуры в области 7—32 К имеют тот же

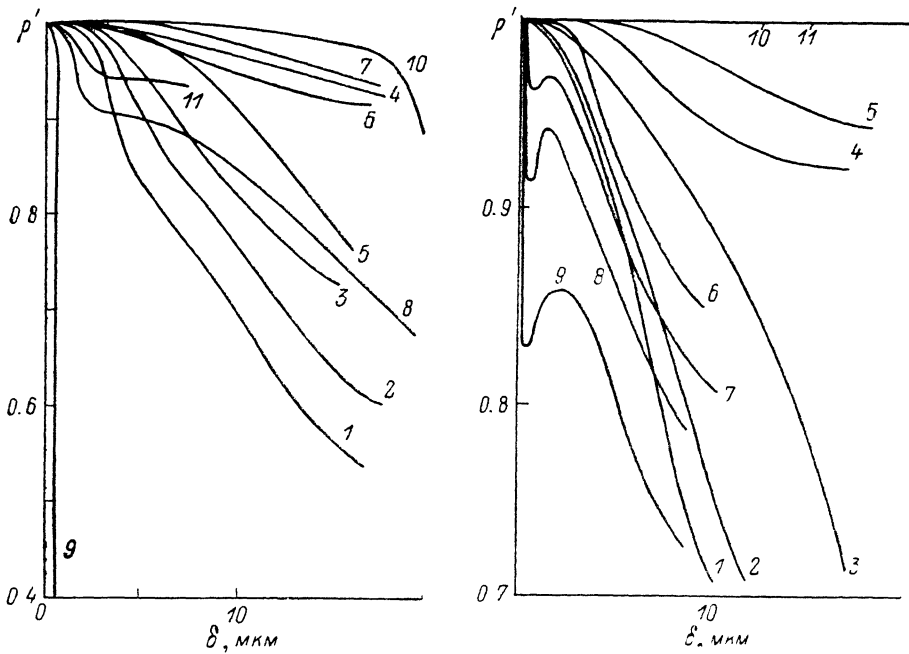


Рис. 4. Изменение направлений отражательной способности подложки  $\rho'$  в процессе конденсации на ней частиц воздуха в вакууме.

$\rho' = f(\delta)$  при  $T_k$  (К),  $v$  (мкм/мин),  $\lambda$  (мкм): 1 — 7.15, 0.199, 0.63; 2 — 7.15, 0.199, 0.63; 3 — 10.0, 0.220, 0.63; 4 — 15.0, 0.215, 0.63; 5 — 20.0, 0.192, 0.63; 6 — 22.0, 0.198, 0.63; 7 — 24.0, 0.185, 0.63; 8 — 26.0, 0.187, 0.63; 9 — 28.0, 0.053, 0.63; 10 — 7.15, 0.199, 3.81; 11 — 28.0, 0.053, 3.81.

Рис. 5. Изменение направленной отражательной способности  $\rho'$  подложки в процессе конденсации на ней частиц аргона в вакууме.

$\rho' = f(\delta)$  при  $T_k$  (К),  $v$  (мкм/мин),  $\lambda$  (мкм): 1 — 7.1, 0.18; 2 — 13.5, 0.17; 3 — 17.0, 0.16; 4 — 20.0, 0.16; 5 — 26.5, 0.15; 6 — 28.0, 0.13; 7 — 30.0, 0.1; 8 — 31.0, 0.1; 9 — 31.0, 0.09; 10, 11 — 7—26.5, 0.15 и 0.18 при  $\lambda=3.81$  и 5.92 мкм.

характер, что и у азота: постепенное снижение скорости роста и одновременно с этим увеличение  $n$  и  $\gamma$  до наибольших значений с последующим затем их уменьшением по мере приближения температуры подложки к температуре насыщенного пара аргона. Максимумы значений  $n$  и  $\gamma$ , равные соответственно 1.31 и 1821 кг/м<sup>3</sup>, были зарегистрированы при температуре подложки 24 К, когда скорость роста толщины слоя была равна 0.147 мкм/мин (давление перед диафрагмой  $P=1.33 \cdot 10^{-2}$  Па), а при  $v=0.007$  мкм/мин (давление перед диафрагмой  $P=0.67 \cdot 10^{-3}$  Па) они соответствовали значениям 1.33 и 2162 кг/м<sup>3</sup>.

Таблица 3

$T_k$ , К	$n$	$\gamma$ , кг/м <sup>3</sup>	$v$ , мкм/мин	$T_k$ , К	$n$	$\gamma$ , кг/м <sup>3</sup>	$v$ , мкм/мин
7.1	1.23	1358	0.178	24.0	1.31	1821	0.147
13.5	1.26	1560	0.173	26.5	1.28	1681	0.145
17.0	1.27	1582	0.165	28.0	1.27	1600	0.130
20.0	1.28	1681	0.161	30.0	1.27	1600	0.126
22.0	1.29	1714	0.150	31.0	1.27	1600	0.095

Понижение плотности остаточной среды перег диафрагмой (или в криостате) в 20 раз при одной и той же температуре конденсации приводит к увеличению  $n$  и  $\gamma$  соответственно на 1.3 и 15 %, в то время как изменение температуры конденсации всего в 3.5 раза (от 7 до 31 К), например, при давлении остаточной среды  $P=1.33 \cdot 10^{-2}$  Па вызывает увеличение значений  $n$  и  $\gamma$  соответственно на 6 и 25 %. Из этого следует, что свойства криослоев аргона, как и других исследуемых газов, в значительно большей степени зависят от температуры конденсации, чем от давления остаточной среды.

Изменение  $\rho' = f(\delta)$  при температурах подложки в интервале 7—26.5 показано на рис. 4. В этом интервале  $\rho'$  увеличивается, а за его верхним пределом начинает уменьшаться преимущественно за счет спада в начале накопления частиц Ar на подложке (кривые 6—9 на рис. 5). На подложке с температурой

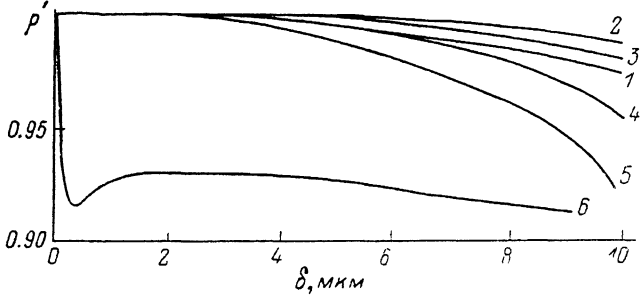


Рис. 6. Зависимость направленной отражательной способности  $\rho'$  подложки с криослойем неона от его толщины для излучения с длиной волны  $\lambda=0.63$  мкм.

$\rho' = f(\delta)$  при  $T_k$  (К),  $v$  (мкм/мин): 1 — 6.15, 0.103; 2 — 6.4, 0.102; 3 — 6.8, 0.1; 4 — 7.1, 0.099; 5 — 9.0, 0.095; 6 — 10.4, 0.078.

31.3 и 31.5 К интерференция при конденсации аргона не наблюдалась. Здесь после резкого спада  $\rho'$  до значения 0.3 и 0.2 за десятиминутный период конденсации, в течение которого толщина криослоя не могла превысить 1 мкм (табл. 3),  $\rho'$  продолжала медленно уменьшаться.

Пороговая толщина слоя Ar для длины волны излучения  $\lambda=0.6328$  мкм имела максимум значения ( $\delta'=12\lambda$  при 24 К), меньший, чем у слоя N<sub>2</sub>, в то время как при  $\lambda=3.81$  и 5.92 мкм она намного превышала  $\delta'$  криоконденсата N<sub>2</sub>. На указанных длинах волн в интервале температур 7—26.5 К за 5 ч непрерывного осаждения частиц аргона со скоростью роста слоя от 0.15 до 0.18 мкм/мин признаков изменения зеркальной составляющей направленной отражательной способности подложки не наблюдалось.

Неон. Зависимость значений  $n$ ,  $\gamma$  и  $v$  от температуры у конденсатов этого газа в интервале температур 6—11 К (табл. 4) имеет ту же закономерность, что и у криослоев азота [1] и аргона (табл. 3).

Наибольшее значение показателя преломления и плотности конденсированного неона могут быть получены при температуре подложки 6.4 К. Из рис. 6 видно, что изменение  $\rho'$  меньше всего происходит также при этой температуре. Пороговая толщина здесь достигает  $12.7\lambda$  на длине волны  $\lambda=0.6328$  мкм. Отклонения  $\rho'$  от единицы на длинах волн  $\lambda=3.81$  и 5.92 мкм в течение 5 ч осаждения неона на подложку, за которые толщина слоя конденсата могла достичь 30 мкм, не замечены.

Таблица 4

$T_k$ , К	$n$	$\gamma$ , кг/м <sup>3</sup>	$v$ , мкм/мин	$T_k$ , К	$n$	$\gamma$ , кг/м <sup>3</sup>	$v$ , мкм/мин
6.2	1.08	1058	0.103	7.1	1.09	1118	0.099
6.4	1.10	1318	0.102	9.0	1.09	1118	0.95
6.8	1.09	1118	0.100	10.4	1.09	1058	0.078

Полученные данные о свойствах криосадков  $O_2$ , воздуха,  $Ar$  и  $Ne$  могут иметь различное прикладное значение, в том числе в вопросах криостатирования объектов с отражающими поверхностями в остаточной среде газов, при выборе режимов вакуумирования криостатов. Очевидным теперь становится также и то, что расчет процесса радиационного теплообмена в криостатных устройствах, например на основе зонального и других методов, где важным является знание угловых радиационных коэффициентов, можно считать в дистанционной мере корректным лишь для поверхностей со слоем конденсата, не превышающим пороговую толщину.

### Список литературы

- [1] Балаков В. В., Олейников Л. Ш., Глазунов В. Д., Чулков М. М. // ЖТФ. 1984. Т. 54. Вып. 11. С. 2206—2211.
- [2] Олейников Л. Ш., Глазунов В. Д. // Вопр. атомн. науки и техники. Сер. Общая и ядерная физика. М., 1984. Вып. 1 (26). С. 10—16.
- [3] Бокий Г. Б. Кристаллохимия. М.: Наука, 1971. 400 с.
- [4] Вакуумная техника. Справочник / Под общей ред. Е. С. Фролова и В. Е. Минайчева. М.: Машиностроение, 1985. 360 с.
- [5] Litvinenco Yu. G., Eremenco V. V., Garber T. I. // Phys. Stat. Sol. B. 1968. Vol. 30. N 1. P. 49—60.
- [6] Иванов В. И. Безмасляные вакуумные насосы. Л.: Машиностроение, 1980. 160 с.
- [7] Хеффер Р. Криовакуумная техника. М.: Энергоиздат, 1983. 272 с.

Поступило в Редакцию  
31 января 1989 г.

---